



به ژن‌ادی گیاهان زراعی و باغی

دوره ۱ ■ شماره ۲ ■ پاییز و زمستان ۱۳۹۲
صفحه‌های ۱۰۱ - ۱۱۰

به‌گزینی ژنوتیپ‌های گندم نان برای ارزش نانوائی با استفاده از نشانگرهای STS-PCR

الهام مهرآذر^۱، علی ایزدی دربندی^{۲*}، محسن محمدی^۳، گودرز نجفیان^۴

۱. کارشناس ارشد رشته اصلاح نباتات، پردیس ابوریحان دانشگاه تهران، تهران، ایران
۲. دانشیار گروه علوم زراعی و اصلاح نباتات، پردیس ابوریحان دانشگاه تهران، تهران، ایران (نویسنده مسئول مکاتبات *)
۳. استادیار مؤسسه اصلاح و تهیه نهال و بذر، کرج، ایران
۴. دانشیار مؤسسه اصلاح و تهیه نهال و بذر، کرج، ایران

تاریخ پذیرش مقاله: ۹۲/۱۰/۷

تاریخ وصول مقاله: ۹۱/۱۰/۱

چکیده

ارزش نانوائی در گندم‌های هگزاپلوئید، صفت بسیار پیچیده‌ای در برنامه اصلاحی گندم است. زیرواحدهای گلوٲین با وزن مولکولی بالا نقش مؤثری در استحکام گلوٲن و کشش‌پذیری خمیر دارند. مکان ژنی *Glu-1* رمزکننده این زیرواحدهاست که بر بازوی بلند کروموزوم‌های گروه یک قرار دارند. در این تحقیق از نشانگرهای DNA مبتنی بر PCR در به‌گزینی کیفی ارقام گندم استفاده شد. دو زوج آلل *Glu-D1* یعنی 1Dx5-1Dy10 و 1Dx2-1Dy12 به ترتیب همبستگی شدیدی با قوت و ضعف ارزش نانوائی دارند و زیرواحد 1Bx7 در مکان ژنی *Glu-B1* که معمولاً با یکی از آلل‌های 1By8 یا 1By9 پیوسته است با افزایش الاستیسیته خمیر، دارای ارزش نانوائی متوسط تا خوب است. نشانگرهای اختصاصی DNA به طول ۴۵۰، ۵۷۶، ۶۱۲، ۲۳۷۳، ۵۲۷، ۶۶۹ جفت بازی به ترتیب برای آلل‌های پروتئینی 1Dx5، 1Dy10، 1Dy12، 1Bx7، 1By8 و 1Dy9 تأیید شدند. در این تحقیق پتانسیل استفاده از نشانگرهای DNA جهت غربال ژنوتیپ‌های گندم از نظر ارزش نانوائی در مرحله گیاهچه‌ای معرفی شد.

کلیدواژه‌ها: کیفیت نانوائی، گلوٲین، گندم، نشانگرهای مولکولی، واکنش زنجیره‌ای پلیمرز.

مقدمه

خواص رئولوژیک^۱ خمیر گندم مربوط به ماده چسبنده و قابل کشش گلوتن است. خاصیت ارتجاعی گلوتن وابسته به حضور دو نوع پروتئین ذخیره‌ای دانه گندم به نام‌های گلوتهین و گلیدین است که این پروتئین‌ها سبب تنوع پروتئینی از طریق کمیت، کیفیت و ترکیبات مختلف خود در ارقام مختلف گندم شده‌اند (۵). با توجه به اینکه در کشور ما بیشتر از نان‌های پهن استفاده می‌شود و پروتئین‌های گندم به‌ویژه گلوتن و گلیدین نقش زیادی در افزایش کیفیت این قبیل نان‌ها دارند، پایداری، دوام و کیفیت نان پهن در مصرف و کاهش ضایعات آن از اهمیت بسزایی برخوردار است (۲۷). ویژگی‌های نهایی خمیر، مربوط به اجزای گلوتن و شبکه پروتئینی حاصل و تأثیر متقابل آن‌ها با همدیگر و نشاسته موجود در آرد است (۱۱)، ۲۸ و ۳۱). میزان زیاد اسیدآمینه گلوتامین موجود در گلوتهین با وزن مولکولی بالا با پیوندهای هیدروژنی بین و درون‌رشته‌ای بر خاصیت کشش خمیر مؤثر است (۹). پژوهش‌های زیادی بر روی پروتئین‌های گلوتهین با استفاده از سیستم الکتروفورزی SDS-PAGE انجام شده است و همبستگی آل‌های موجود با زیرواحدهای گلوتهین دارای وزن مولکولی بالا و کیفیت نانواپی حالت مثبتی را نشان داده است (۱۳ و ۲۸). گلوتهین‌ها براساس میزان تحرک آن‌ها بر روی ژل اکریل‌آمید به دو بخش دارای وزن مولکولی بالا و پایین تقسیم شده و به ترتیب براساس مدل‌های پین و گوپتا نامگذاری می‌شوند (۱۳). ژن‌های کنترل‌کننده این خصوصیات روی بازوی بلند کروموزوم‌های A1، B1 و D1 قرار دارند. چهار ویژگی ساختاری پروتئین شامل محتوای گلوتهین با وزن مولکولی بالا و پایین و گلیدین و نوع ترکیبات آلی آن‌ها سبب

تعیین ارزش کیفی، پایداری و دوام نان می‌شوند (۶). زیرواحدهای با وزن مولکولی بالا توسط مکان‌های ژنی *Glu-1* در سه جایگاه *Glu-D1*، *Glu-B1* و *Glu-A1* که بر روی بازوی بلند کروموزوم‌های D1، B1 و A1 قرار دارند رمز می‌شوند و هر یک از این مکان‌های ژنی شامل دو ژن خیلی نزدیک به هم به نام‌های *Glu-1-1* و *Glu-1-2* هستند که به ترتیب زیرواحدهای تیپ x و y را برحسب وزن مولکولی رمز می‌کنند. تا کنون ۸ آلل برای مکان ژنی *Glu-A1*، ۱۱ آلل برای *Glu-B1* و ۹ آلل برای *Glu-D1* شناسایی شده است. ژن تیپ y موجود در مکان ژنی *Glu-A1* معمولاً تظاهر نیافته و خاموش است و گاهی هر دو ژن تیپ x و y مکان ژنی *Glu-A1* تظاهر نیافته که در این حالت آلل نول را خواهیم داشت. در *Glu-B1* و *Glu-D1* به‌طور معمول هر دو ژن بیان می‌شوند، بنابراین، در گندم هگزاپلوئید، ۳-۵ جزء (نوار) در قسمت گلوتهین‌های HMW دیده می‌شود (۱۱ و ۱۷). تنوع آلی در هر یک از مکان‌های ژنی HMW گلوتهین وجود دارد که ناشی از تفاوت‌ها در اجزای زیرواحدهای گلوتهین با وزن مولکولی بالا در بین ارقام است (۲۴). مطالعات متعدد نشان داده است که ترکیب اجزای سازنده گلوتهین اثرات معناداری بر خواص خمیر دارند. زیرواحدهای گلوتهین با وزن مولکولی بالا 1Dx5-1Dy10 با استحکام بالای خمیر و کیفیت خوب نانواپی پیوسته هستند و زیرواحدهای 1Dx2-1Dy12 با خواص نانواپی ضعیف مرتبط هستند (۴، ۱۲ و ۱۸). از بین زیرواحدهای گلوتهین با وزن مولکولی بالا در جایگاه *Glu-B1*، جزء 1Bx7 عمومی‌ترین زیرواحدهاست که در تعداد زیادی از واریته‌های گندم نان و دوروم دیده می‌شود (۲۴) و (۳). زیرواحد 1Bx7 معمولاً با یکی از زیرواحدهای 1By به نام‌های 1By8 یا 1By9 پیوستگی دارد. اگرچه تعیین اثر

1. Rheological properties

2. High Molecular Weight Glutenin Subunit

ژنی *Glu-D1* و *Glu-B1* در ارقام زراعی گندم نان در حال کشت ایران، یک روش تشخیصی کارآمد، جایگزین، دقیق و قابل اعتماد جهت گروه‌بندی کیفی به‌منظور مصرف نهایی و استفاده در برنامه‌های اصلاحی ارائه می‌شود.

مواد و روش‌ها

مواد گیاهی

در این پژوهش براساس الگوی بانندی پروتئین‌های گلوتمین در ۶۵ رقم گندم نان بررسی شده (۱۰)، تعداد ۲۰ رقم که ترکیبات آللی 1Dx5، 1Dy10، 1Dy12، 1Bx7، 1By8 و 1By9 داشتند به‌عنوان آلل‌های مورد نظر جهت تعیین نشانگرهای DNA مرتبط با آن‌ها انتخاب شدند (جدول ۲). علت انتخاب این ارقام این بود که با دانستن نوع آلل در سطح پروتئین می‌توان نشانگرهای DNA آن را براساس آغازگرهای اختصاصی ردیابی و معرفی کرد. آزمون فیزیکی تعیین ارتفاع رسوب SDS (۲۰) نیز برای ارقام منتخب انجام شد. در این آزمایش از دو محلول دودسیل سولفات و اسیدلاکتیک برای معلق کردن ذرات آرد استفاده شد که بعد از مخلوط شدن گلوتمین آن ته‌نشین می‌شود. زیرواحدهای گلوتمین از تک‌بذرها استخراج و به‌وسیله سیستم الکتروفورزی SDS-PAGE تجزیه و تحلیل شدند. از روش استخراج متوالی^۲ (۲۵) با رعایت آخرین تغییرات اعمال شده (۱۰) با استفاده از ژل‌های با شیب غلظت (۸/۱-۱۲/۵) درصد پلی‌اکریل‌امید به‌منظور بررسی الگوی الکتروفورزی زیرواحدهای گلوتمین استفاده شد. زیرواحدهای HMW-GS از طریق مدل جهانی پین نامگذاری شدند (۱۸). ارقام گابو^۳ و چاینز اسپرینگ^۴ نیز به‌منزله شاهد‌های جهانی با الگوی بانندی شناخته‌شده برای

اختصاصی 1Bx7 از دو زیرواحد توأم با آن ساده نیست اما هر یک از این جفت آلل یعنی ۷+۸ یا ۷+۹ از نظر ارزش کیفی در گروه متوسط تا خوب قرار دارند (۱). اگرچه بسیاری از فعالیت‌های مربوط به شناسایی زیرواحدهای گلوتمین با جرم مولکولی بالا و پایین در سطح پروتئین انجام شده است و به‌منظور تجاری‌سازی محصولات نهایی اصلاح نباتات متداول است، به‌نژادگری نوین ابزاری طلب می‌کند که به به‌نژادگر قدرت تشخیص محتوای ژنتیکی مؤثر در کیفیت نهایی دانه را در خلال کار اصلاحی و در جوامع در حال تفکیک فراهم کند. توالی جفت‌ژن‌های رمزکننده زیرواحدهای (1Dx2 و 1Dx5)، (1Dy10 و 1Dy12) و 1Bx7 با سایر ژن‌های رمزکننده 1Bx بسیار شبیه است ولی از روی تفاوت‌های جزئی موجود در توالی ناحیه رمزکننده این ژن‌ها، آغازگرهای اختصاصی برای بررسی‌های PCR طراحی می‌شود. بر این اساس، آغازگرهای اختصاصی برای تکثیر بخش‌های رمزکننده و نواحی تکراری درون ژنی زیرواحدهای گلوتمین طراحی شده‌اند (۵، ۲۱، ۲۹ و ۳۰). نشانگرهای مبتنی بر نقاط نشانمند از ردیف (STS)^۱، از جمله نشانگرهای مبتنی بر واکنش زنجیره‌ای پلیمرز است و با استفاده از آغازگرهای اختصاصی (معمولاً بیش از ۲۰ نوکلئوتید) ایجاد می‌شود که یک نقطه نشانمند از ردیف نامیده می‌شود، زیرا پیش از طراحی آغازگر قطعه، در یک مرحله عمل ردیف‌یابی انجام شده است. در واقع STS یک ردیف کوتاه منحصر به فرد است که می‌توان آن را توسط PCR تکثیر کرد. مزیت نشانگر STS هم‌پارز بودن آن است، بدین معنی که قادر به تفکیک هموزیگوس‌ها از هتروزیگوس‌ها است و قابلیت تکرارپذیری بیشتری دارند (۷، ۱۹ و ۲۳). در این پژوهش با تعیین نشانگرهای DNA مبتنی بر PCR برای جایگاه‌های

2. Sequential Extraction
3. Gabo
4. Chinese Spring

1. Sequence Tagged Site

۹۴ به مدت یک دقیقه، سپس ۳۸ چرخه شامل، واسرشت سازی در 94°C به مدت یک دقیقه، اتصال آغازگرها در دامنه دمایی 59°C تا 64°C به مدت ۴۵ ثانیه، بسط آغازگرها در 72°C به مدت یک دقیقه و ۳۰ ثانیه انجام شد. در آخر بسط نهایی در 72°C به مدت ۱۰ دقیقه انجام گرفت. غلظت مواد به کاررفته در واکنش زنجیره ای پلیمرز در حجم ۲۵ میکرولیتر حاوی ۱ واحد Taq DNA پلیمرز، $1/14$ میلی مولار از 50 MgCl_2 میلی مولار، $1 \times$ از بافر $(10 \times)$ PCR، $1/5$ میلی مولار از هر dNTP ۵۰ میلی مولار، ۲۵۰ نانوگرم از هر آغازگر که این مواد از شرکت تکاپوزیست تهیه شدند و ۵۰ نانوگرم از DNA ژنومی که در این واکنش استفاده شد. فرآورده های PCR روی ژل های آگارز ۱/۵ درصد الکتروفورز شدند و در محلول اتیدیوم بروماید $0/5\ \mu\text{g/ml}$ به مدت یک ساعت رنگ آمیزی و سپس با نور UV قابل رؤیت شدند.

نامگذاری ترکیبات آلی استفاده شدند. استخراج DNA از ۰/۱ گرم برگ گیاهچه ها در مرحله دو تا سه برگی با استفاده از روش CTAB انجام شد (۱۵).

آغازگرهای اختصاصی واکنش زنجیره ای پلیمرز

آغازگرهای توصیف شده توسط اندرسون و همکاران (۳) برای آزمون ژنتیکی حضور آلل های 1Dx5 و 1Dx2 استفاده شد. آغازگرهای توصیف شده توسط اسمیت و همکاران (۲۶) برای آزمون ژنتیکی حضور آلل های Dx10 و Dx12 در مکان ژنی *Glu-D1* به کار رفتند. در این پژوهش به منظور تشخیص زیرواحد Bx7 از آغازگر ارائه شده توسط اندرسون و گرین (۳) و برای شناسایی زیرواحدهای By8 و By9 از آغازگرهای توصیف شده توسط لی و همکاران (۱۳) استفاده شد. در این آزمایش واکنش های PCR با آغازگرهای اختصاصی^۱ (جدول ۱) با دو دستگاه ترموسایکلر BioRad و Eppendorf در چرخه های دمایی به صورت یک مرحله واسرشت سازی اولیه در دمای 94°C

جدول ۱. مشخصات آغازگرهای اختصاصی و فرآورده های مکان های ژنی گلوتنین

آغازگر	توالی (۳'–۵')	آلل	دمای اتصال (C)	اندازه محصول (bp)
P1	GCCTAGCAACCTTCACAATC	Dx2 or Dx3	60	Null
P2	GAAACCTGCTGCGGACAAG	Dx5		450 bp
P3	GTTGCGCGGTGCGCTGCCATG	Dy12	63	612 bp
P4	TGGAGAAGTTGGATAGTACC	Dy10		576 bp
P5	ATGGCTAAGCGCCTGGTCCT	Bx7	60	2373 bp
P6	TGCTGGTCGACAATGCGTCGCTG	No-By7		Null
P7	TTAGCGCTAAGTGCCGTCT	By8	64	527 bp
P8	TGTCTCTATTGCTGCCCTT	No-By8		Null
P9	TTCTCTGCATCAGTCAGGA	By9	59	669 bp
P10	AGAGAAGCTGTGTAATGCC	No-By9		707 bp

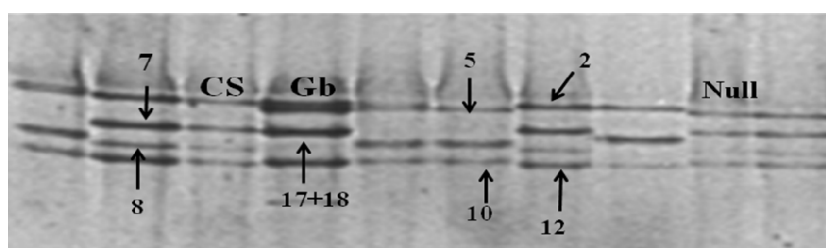
1. Specific primers

نتایج و بحث

در کیفیت نانوائی در ۲۰ ژنوتیپ گندم نان به‌کار گرفته شدند (جدول ۲).

هر یک از نشانگرهای اختصاصی STS از طریق مطابقت با آل‌های پروتئینی در سیستم SDS-PAGE به تأیید رسید (شکل ۱).

در این پژوهش دو جفت آغازگر اختصاصی شناساگر زیرواحدهای (1Dx5 یا 1Dx2 و 1Dx3) و (1Dy10 یا 1Dy12)، در مکان ژنی *Glu-D1* و سه جفت آغازگر اختصاصی شناساگر زیرواحدهای 1Bx7، 1By8، 1By9 در مکان ژنی *Glu-B1* با رتبه کیفی بالا، متوسط و پایین مؤثر



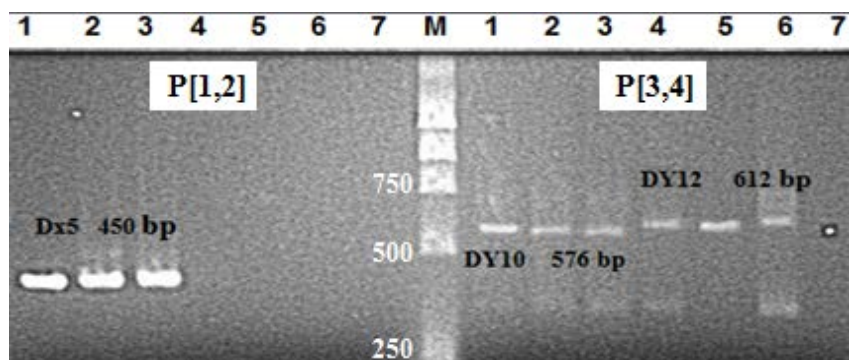
شکل ۱. الگوی الکتروفورزی برخی از ارقام نان گندم مطالعه شده برای زیرواحدهای گلوتنین با وزن مولکولی بالا

جدول ۲. ارقام گندم نان بررسی شده، زیرواحدهای گلوتنین، امتیاز کیفی پین و ارتفاع آزمون رسوب SDS

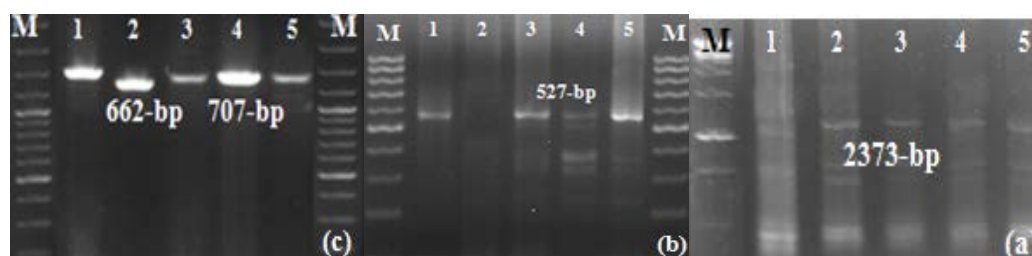
شماره	رقم	زیرواحدهای گلوتنین با وزن مولکولی بالا					رتبه کیفی	آزمون ارتفاع رسوب SDS (cm)
		HMW-GS						
		1Dy	1Dx	1By	1Bx	1Ax		
۱	چینی بهاره	نول	۷	۸	۲	۱۲	۶	۵۵
۲	گابو	۲*	۱۷	۱۸	۲	۱۲	۸	۶۵
۳	کرج ۲	نول	۷	۸	۵	۱۰	۸	۵۳
۴	کرج ۳	۲*	۱۳	۱۹	۲	۱۲	-	۷۰
۵	فلات	۱	۷	۹	۵	۱۰	۱۰	۵۰
۶	نوید	۲*	۱۷	۱۸	۵	۱۰	۱۰	۴۶
۷	قدس	نول	۱۷	۱۸	۵	۱۰	۸	۴۹
۸	استار	۲*	۷	۸	۲	۱۲	۸	۵۷
۹	گلستان	نول	۱۷	۱۸	۵	۱۰	۸	۶۵
۱۰	بزوستایا	۲*	۷	۹	۵	۱۰	۱۰	۶۰
۱۱	اینیا	۱	۷	۸	۵	۱۰	۱۰	۶۳
۱۲	شاه‌پسند	نول	۷	۸	۳	۱۲	۶	۶۵
۱۳	روشن	۲*	۷	۸	۲	۱۲	۶	۵۲
۱۴	اترک	۲*	۷	۸	۲	۱۲	۸	۶۵
۱۵	چناب	۲*	۷	۸	۲	۱۲	۸	۶۸
۱۶	تجن	۱	۷	۱۱	۲	۱۲	-	۶۵
۱۷	اروند	نول	۷	۸	۲	۱۲	۶	۴۱
۱۸	نیک‌نژاد	۲*	۷	۹	۵	۱۰	۹	۶۴
۱۹	طیسی	نول	۷	۸	۲	۱۲	۶	۶۵
۲۰	الوند	۱	۷	۸	۲	۱۲	۸	۴۸

متوسط و مؤثر در افزایش کیفیت نانویی در ارقام گندم نان به کار گرفته شدند که شکل ۳ به ترتیب الکتروفورز اختصاصی محصولات PCR را در مکان ژنی *Glu-B1* نشان می‌دهد. با توجه به شکل ۳ ژنوتیپ چناب، اروند، طبسی و الوند آلل ۷+۸ دارند و رقم فلات آلل ۷+۹ را نشان می‌دهد. نتایج و ارتباط بین زیرواحدهای گلوٹینین و نشانگرهای DNA آن‌ها برای ارقام گندم استفاده شده در ایران در این مطالعه با نتایج مطالعات مقبول احمد بر روی ارقام کشور نیوزیلند، دوویدئو و همکارانش و اندرسون و همکاران روی ژنوتیپ‌های اروپا در تعیین نشانگرهای DNA مرتبط با زیرواحدهای پروتیین‌های ذخیره‌ای گندم مطابقت و شباهت دارد (۱، ۵ و ۲۶) در مطالعه‌ای مشابه که در این زمینه انجام گرفته است تنوع آلی ۱۰۶ ژنوتیپ گندم نان در سطح پروتیین بررسی شده قرار گرفت و ۲۲ آلل برای بلوک ژنی شناسایی شد (۱۴). همچنین در پژوهشی دیگر که بر روی ارقام تجاری گندم نان ایران انجام شد تعدادی از آلل‌های مکان ژنی *Glu-1* در سطح پروتیین و DNA شناسایی شد (۹) و (۱۰). در این مطالعه با یافتن آلل‌هایی که همبستگی بالایی با صفات مرتبط با کیفیت محصول نهایی گندم دارند می‌توان ژنوتیپ‌های با کیفیت بالا را در مراحل اولیه رشد گیاه انتخاب کرد.

جفت آغازگر P_1 و P_2 برای شناسایی زیرواحد 1Dx5 و 1Dx2 یا 1Dx3 به کار رفتند. ارقام دارای زیرواحد 1Dx5 یک فرآورده اختصاصی ۴۵۰ جفت‌بازی را تولید می‌کنند و ارقام فاقد این زیرواحد و دارای زیرواحدهای 1Dx2 یا 1Dx3 هیچ فرآورده‌ای تولید نمی‌کنند (شکل ۲). با استفاده از جفت آغازگرهای P_3 و P_4 ارقام دارای 1Dy10 فرآورده ۵۷۶ جفت‌بازی را تولید کردند ولی ارقام فاقد آن و دارای زیرواحد 1Dy12 یک باند ۶۱۲ جفت‌بازی را تولید کردند (شکل ۲). ملاحظه می‌شود سه رقم اول که زیرواحدهای پروتیینی 1Dx5+1Dy10 دارند، فرآورده‌های ۴۵۰ و ۵۷۶ جفت‌بازی به ترتیب اختصاص به زیرواحد 1Dx5 و 1Dy10 دارند. واکنش زنجیره‌ای پلیمراز برای سه رقم بعدی که فاقد 1Dx5 و دارای آلل‌های 1Dx2 یا 1Dx3 هستند هیچ فرآورده‌ای با آغازگرهای P_1 و P_2 تولید نکرد، اما به دلیل حضور آلل 1Dy12 در این ارقام با آغازگرهای P_3 و P_4 نشانگر اختصاصی آن با ۶۱۲ جفت‌بازی تکثیر شد. بنابراین، می‌توان از هر یک از این‌ها به منزله نشانگرهای مناسب برای ردیابی ارقام دارای آلل‌های غنی یا ضعیف از نظر ارزش نانویی استفاده کرد. در این پژوهش آغازگرهای اختصاصی $(P_5 \text{ و } P_6)$ ، $(P_7 \text{ و } P_8)$ ، $(P_9 \text{ و } P_{10})$ شناساگر زیرواحدهای Bx7، Bx8 و Bx9 در مکان ژنی *Glu-B1* با رتبه کیفی



شکل ۲. الکتروفورز اختصاصی محصولات PCR مربوط به آغازگرهای [P1, P2] و [P3, P4]، برای زیرواحدهای 1Dy10، 1Dx5 و 1Dy12 در مکان ژنی *Glu-D1* را در شکل نشان می‌دهد. ارقام به کاررفته عبارت‌اند از: (۱) نوید، (۲) قدس، (۳) فلات، (۴) کرج، (۵) چینی بهاره، (۶) گابو، (۷) شاه‌پسند، M: نشانگر اندازه DNA (۱ kb)



شکل ۳. الکتروفورز اختصاصی محصولات PCR مربوط به آغازگرهای $[P_6, P_5]$ و $[P_8, P_7]$ و $[P_{10}, P_9]$ برای زیرواحدهای $Bx7$ ، $By8$ و $By9$ در مکان ژنی *Glu-B1* با استفاده از آغازگر اختصاصی به ترتیب در شکل (a)، (b) و (c) نشان می‌دهد. ارقام به کاررفته عبارت‌اند از: (۱) چناب، (۲) فلات، (۳) ارونند، (۴) طیبسی، (۵) الوند، M: نشانگر اندازه DNA در شکل (a)، (b) و (c) به ترتیب عبارتند از: ۱ kb، ۱۰۰ bp و ۵۰ bp را نشان می‌دهد.

مطابقت دارد. نتایج حاضر در جدول ۲ نشان‌دهنده این است که بالا یا پایین بودن ارتفاع رسوب SDS نمی‌تواند دلیل قطعی بر این نظر باشد که این نشان می‌دهد کیفیت نانوائی علاوه بر زیرواحدهای گلوٲتین با وزن مولکولی بالا، تحت تأثیر زیرواحدهای گلوٲتین با وزن مولکولی پایین، نسبت گلوٲتین به گلیادین، توزیع وزن مولکولی و محتوای پروٲئین کل است (۸). گزینش به کمک نشانگر، پیوستگی بسیار بالایی در بین هر یک از جفت زیرواحدهای ۱۰+۵ و ۱۲+۲ و فرآورده‌های PCR آن‌ها نشان داده است و در این پژوهش این موضوع در تکرارهای مجزا تأیید شد، بنابراین، تعیین قوت و ضعف ارقام گندم از نظر ارزش نانوائی در مکان‌های ژنی *Glu-D1* با استفاده از آغازگرهای اختصاصی آن‌ها در کوتاه‌ترین زمان فراهم می‌شود. حضور فرآورده اختصاصی مکان ژنی *IBx7* در محصول PCR امکان شناسایی ارقام با پتانسیل متوسط تا خوب را در این جایگاه فراهم می‌کند. عمده مطالعات بر روی زیرواحدهای گلوٲتین با وزن مولکولی بالا و پایین و کیفیت نان در تشخیص ترکیبات آلی برای رتبه‌بندی کیفی ارقام گندم با استفاده از الکتروفورز در سیستم SDS-PAGE انجام گرفته است که دشواری‌های متعددی دارد و در مجموع مستلزم صرف وقت و کار زیاد و تفسیر آن‌ها دشوار است و استفاده از نشانگرهای DNA

براساس مطالعات انجام‌شده در این پژوهش در سطح DNA و پروٲئین بر روی ارقام نام‌برده می‌توان براساس جدول امتیازدهی پین (۱۸)، رتبه‌بندی کیفی ارقام را براساس بهترین و بدترین رقم از نظر کیفیت نانوائی تعیین کرد (جدول ۲). براساس جدول امتیازدهی پین ارقام دارای امتیاز بین هشت تا ۱۰ کیفیت بالا، ارقام دارای امتیاز پنج تا هفت دارای کیفیت متوسط و ارقام دارای امتیاز سه تا چهار دارای کیفیت پایین نانوائی هستند. نتایج براساس جدول امتیازبندی نشان داد که ارقام مطالعه شده رتبه کیفی بالا و متوسط دارند. آزمون رسوب SDS^۱ نیز به منزله یکی دیگر از روش‌های تعیین کیفیت پروٲئین استفاده شد. ارتفاع رسوب SDS حاصل، معرف کیفیت گلوٲن است و عدد رسوب SDS هرچه بیشتر باشد کیفیت گلوٲن مطلوب است و می‌توان بدون توجه به عملکرد دانه، در پیش‌بینی بهبود کیفیت نانوائی از آن‌ها استفاده کرد (۲۰ و ۱۶). به‌طورکلی، باندهای *۲ از مکان ژنی *Glu-A1*، ۱۰+۵ از مکان ژنی *Glu-D1* و ۱۷+۱۸ از مکان ژنی *Glu-B1* روی ارتفاع رسوب بیشترین تأثیر را دارند و وجود این زیرواحد در گندم سبب افزایش ارتفاع رسوب SDS می‌شود و این نتیجه با بخشی از نتایج صادق زاده و همکاران (۲۲)

1. Sodium Dodecyl Sulfate

3. Anderson DD, Greene FC, Yip RE, Halford NG, Shewry PR and Alpica-Romero JM (1989) Nucleotide sequences of the two high-molecular-weight glutenin genes from the D-genome of hexaploid bread wheat, *Triticum aestivum* L. cv Cheyenne. *Nucleic Acids Research*. 17: 461-462 .
4. De-Bustos A, Rubio P, Soler C, García P and Jouve N (2001) Marker assisted selection to improve HMW glutenins in wheat. *Euphytica*. 119: 69-73 .
5. Dovidio R, Porceddu E and Lafandra D (1994) PCR analysis of genes encoding allelic variants of high-molecular-weight glutenin subunits at the *Glu-D1* locus. *Theoretical and Applied Genetics*. 88: 175-180 .
6. Gianibelli MC, Larroque OR, MacRitchie F and Wrigley CW (2001) Biochemical, genetic and molecular characterization of wheat glutenin and its component subunits. *Cereal Chemistry*. 78: 635-646 .
7. Guo PG, Bai GH and Shaner GE (2003) AFLP and STS tagging of a major QTL for Fusarium head blight resistance in wheat. *Theoretical and Applied Genetics*. 106: 1011-1017.
8. Gupta RB, Batey IL and Ritchie FM (1992) Relationships between protein composition and functional properties of wheat flour. *Cereal Chemistry*. 69: 125-131 .
9. Izadi Darbandi A and Yazdi Samadi B (2012) Marker-assisted selection of high molecular weight glutenin alleles related to bread-making quality in Iranian common wheat (*Triticum aestivum* L.). *Genetics*. 91: 193-198 .

به دلیل محدودیت‌های ذکر شده ترجیح داده می‌شوند. نتایج این پژوهش می‌تواند ضمن رفع خطاهای ممکن در نامگذاری الگوی بانندی پروتئینی سیستم SDS-PAGE، موجب تشخیص بسیار سریع پتانسیل کیفی ارقام از نظر ارزش نانوائی برای جایگاه‌های *Glu-B1* و *Glu-D1* در برنامه‌های اصلاحی می‌شود. نشانگرهای DNA تأیید شده برای ارزش نانوائی را می‌توان در مرحله گیاهچه‌ای به دست آورد و دیگر نیازی نیست گیاهان بذرگیری و ترکیبات پروتئینی آن‌ها مشخص شوند و این گزینش سریع موجب پرهیز از اتلاف وقت و تسریع در پژوهش‌های هم‌زمان کمی و کیفی ارقام در نسل‌های حاصل از تلاقی‌ها می‌شود. بنابراین، از نشانگرهای اختصاصی به روش STS-PCR می‌توان جهت شناخت ژنوتیپ‌هایی با هدف خاص و ارزیابی کیفی ارقام گندم استفاده کرد. گزینش ارقام ضعیف و قوی از نظر ارزش نانوائی در مکان ژنی *Glu-D1* و *Glu-B1* به راحتی ممکن می‌شود و شناخت ارقام دارای جزء 1Bx7 با کیفیت متوسط تا خوب نیز به سهولت امکان‌پذیر است. همچنین با توجه به نتایج می‌توان بیان کرد که آزمون ارتفاع رسوب SDS شاهد مناسبی برای تأیید درجه کیفیت ارقام، با توجه به نتایج حاصل از PCR و SDS-PAGE است.

منابع

1. Ahmad M (2000) Molecular marker-assisted selection of HMW glutenin alleles related to wheat bread quality by PCR-generated DNA markers. *Theoretical and Applied Genetics*. 101: 892-896 .
2. Anderson DD and Greene FC (1989) The characterization and comparative analysis of high-molecular-weight glutenin genes from genomes A and B of a hexaploid bread-wheat. *Theoretical and Applied Genetics*. 77: 689-700 .

10. Izadi-Darbandi A, Yazdi-Samadi B, Shahnejat-Boushehri AA and Mohammadi M (2010) Allelic variations in *Glu-1* and *Glu-3* loci of historical and modern Iranian bread wheat (*Triticum aestivum* L.) cultivars. *Genetics*. 89:193-199 .
11. Johal J, Gianibelli MC, Rahman S, Morell MK and Gale KR (2004) Characterization of low-molecular-weight glutenin genes in *Aegilops tauschii*. *Theoretical and Applied Genetics*. 109:1028-1040 .
12. Kuchel H, Fox R , Reinheimer J, Mosionek L, Willey N, Bariana H and Jefferies S (2007) The successful application of a marker-assisted wheat breeding strategy. *Molecular Breeding* (In Press) .
13. Lei ZS, Gale KR, He ZH, Gianibelli C, Larroque O, Xia XC, Butow BJ and Ma W (2006) Y-type gene specific markers for enhanced discrimination of high-molecular weight glutenin alleles at the *Glu-B1* locus in hexaploid wheat. *Cereal Science*. 43: 94-101 .
14. Liu L, He ZH, Ma WJ, Liu JJ, Xia XC and Pena RJ (2009) Allelic variation at the *Glu-D3* locus in Chinese bread wheat and effects on dough properties, pan bread and noodle qualities. *Cereal Research Communications*. 37: 57-64 .
15. Murray M and Thompson WF (1980) Rapid isolation of high molecular weight plant DNA. *Nucleic Acids Research*. 8: 4321-4325 .
16. Najafian G, Bahraie S, Baghaie N, Mortezaagholi M and Babaie-Goli E (2008) Bread making quality attributes of Iranian commercial cultivars of wheat and their HMW glutenin subunits composition. *Proceedings the 11th International Wheat Genetics Symposium*. 24-29 Aug., Brisbane, Australia. 241p.
17. Park WJ, Shelton DR, Peterson CJ, Martin TJ, Kachman SD and Wehling RL (1997) Variation in polyphenol oxidase activity and quality characteristics among hard white wheat and hard red winter wheat samples. *Cereal Chemistry*. 74: 7-11 .
18. Payne PI, Nig htengale MA, Krattiger AF and Holt LM (1987) The relationship between HMW glutenin subunit composition and breadmaking quality of British grown wheat varieties. *Science Food Agriculture*. 40: 51-65 .
19. Prins R, Groenewald JZ, Marais GF, Sn ap JW and Koebner RMD (2001) AFLP and STS tagging of *Lr19*, a gene conferring resistance to leaf rust in wheat. *Theoretical and Applied Genetics*. 103: 618-624.
20. Quick JS and Donnelly BI (1980) A rapid test for estimation of durum wheat gluten quality. *Crop Science*. 20: 816-818 .
21. Radovanovic N and Cloutier S (2003) Gene-assisted selection for high molecular weight glutenin subunits in wheat doubled haploid breeding programs. *Molecular Breeding*. 12: 51-59 .
22. Sadeghzadeh B, Ghannadha M R, Ahmadian Tehrani P, Abdmishani S and Seied Tabatabaei BE (2002) Determination of relationship between HMW-GS and wheat baking quality through Electrophoresis. *Iranian Journal of Agriculture Science*. 33: 535-542. (In Farsi (
23. Semgan K, Bjornstad A and Ndji onjop MN (2006) An overview of molecular marker methods for plants. *African Journal of Biotechnology*. 5(25): 2540-2568.

24. Shewry PR, Halford NG, Tatham AS, Popineau Y, Laciandra D and Belton PS (2003) The high molecular weight subunits of wheat glutenin and their role in determining wheat processing properties. *Advance Food Nutrient Research*. 45: 221-302 .
25. Singh NK, Sheperd KW and Cornish GB (1991) A simplified SDS-PAGE procedure for separating LMW subunits of glutenin. *Cereal Science*. 14: 203-208 .
26. Smith RL, Schweder ME and Barnett RD (1994) Identification of glutenin alleles in wheat and triticale using PCR-generated DNA markers. *Crop Science*. 34: 1373-1378 .
27. Tanhaiyan A, Shahriari F, Marashi SH and Dehghan E (2009) Study of allelic variation at *Glu-b3* locus of the Iranian bread wheat cultivars by using ALP molecular marker. *Iranian Journal of researches agriculture*. 7: 367-374. (In Farsi)
28. Uthayakumaran S, Batey IL and Wrigley CW (2004) On-the-spot identification of grain variety and wheat-quality type by Lab-on-chip capillary electrophoresis. *Cereal Science*. 41: 371-374 .
29. Uthayakumaran S, Li stiohadi Y, Baratta M, Batey IL and W rigley CW (2006) Rapid identification and quantitation of high-molecular-weight glutenin subunits. *Cereal Science*. 44: 34-39 .
30. Van-Compenhout S, St appen JV, Sagi L and Volekaert G (1995) Locus-specific primers for LMW glutenin genes on each of the group 1 chromosomes of hexaploid wheat. *Theoretical and Applied Genetics*. 91: 313-319 .
31. Xu Q, Xu J, Li u CL, Chang C, Wang CP, You MS, Li BY and Li u GT (2008) PC R-based markers for identification of HMW-GS at *Glu-B1x* loci in common wheat. *Cereal Science*. 47: 394-398 .